



2021-2022

Module	CCSBA (EC 2)
Feuille	Fondations superficielles
TD N°	Semelles isolées (sous charge excentrée) 4 _ Exemple 5

A introduire par l'utilisateur	
Résultat ordinaire	
Résultat important	

1

Enoncé

Exemple 5

- Semelle isolée en BA supporte un poteau  $(a \times b) = (0,3 \times 0,3 \text{ m}^2)$ . Elle repose sur un sol de contrainte admissible :  $q_u = 1 \text{ MPa}$ ;
- $e_i + \Delta e_0 = 5 \text{ cm}$ ;
- Semelle reçoit une charge verticale totale centrée provenant du poteau :
  - $N_G = 80 \text{ t}$ ;

$N_Q = 20 \text{ t}$ ;
  - $M_G = 2 \text{ tm}$ ;

$M_Q = 1 \text{ tm}$ ;
- $f_{ck} = 25 \text{ MPa}$  ;     Acier B 500 A HA;     XA 1;

Q1 : Dimensionner la semelle isolée en BA  $(a', b', h)$ ;

Q2 : Calculer les armatures et faire un schéma représentatif des résultats;

## Fondations superficielles \_ Semelles isolées sous charge excentrée

## Caractéristiques des matériaux - Données sur le projet

[illegible]

Gros béton

Contrainte limite du massif de gros béton

$\sigma_{GB}$

0.75

MPa

Poids volumique du gros béton

$\gamma_{GB}$

22.00

kN/m<sup>3</sup>

Sol d'assise

Pression limite du sol issue d'essais géotechniques

$q_u$

1

MPa

Résistance de calcul du sol à l'ELU

$\sigma_{Rd} = \sigma_{gd}$

0.5

MPa

Hauteur du prépotEAU/remblai au-dessus la semelle

$D_r$

0

m

Poids volumique du sol

$\gamma_{sol}$

15.00

kN/m<sup>3</sup>

$\sigma_{Rd} = \sigma_{gd} = q_{u,sol} = \frac{q_u}{2}$

cf. Tableau ci-contre

Nature du sol	Valeurs moyennes des résistances admissibles du sol (MPa)
Remblais et terre végétale	0,05
Argiles	0,1 à 0,3
Terrains non cohérents à compacité moyenne	0,2 à 0,4
Terrains non cohérents à bonne compacité	0,35 à 0,75
Gravier	0,4 à 0,6
Roches peu fissurées saines non désagrégées et de stratification favorable	0,75 à 4,5

Calcul de l'enrobage nominal c<sub>nom</sub>

Ajustement de la classe structurale

cf. Tableau 4.3N ou Tableau 4.3NF

Ajustement de la classe structurale selon le "Tableau 4.3N"

Critères	
Durée d'utilisation de projet	0
Classe de résistance	0
Elément admissible à une dalle	Autres
	0
Maîtrise particulière de la qualité de production du béton	NON
	0
Classe structurale recommandée	S4

Ajustement de la classe structurale selon le "Tableau 4.3NF"

Critères	
Durée d'utilisation de projet	0
Classe de résistance	0
Nature du liant : Béton de classe C35/45 à base de CEMI sans cendres volantes pour XC1, XC2, XC3, XC4	NON
	0
Enrobage compact	NON
	0
Classe structurale recommandée	S4

Choix du Tableau

Tableau 4.3N (EC 2)

Classe structurale recommandée choisie

S4

Enrobage minimal

Formules

Données

Formules

Données

Formules

Données

Formules

Données

Formules

Données

Formules

Données

Tolérance d'exécution

0 ≤

$\Delta c_{dev}$

10

mm

≤ 10 mm

Marge de sécurité

$\Delta c_{dur,\gamma}$

0

mm

cf. &4.4.1.2

Réduction cas d'acier inoxydable

$\Delta c_{dur,st}$

0

mm

Réduction cas de protection supplémentaire

$\Delta c_{dur,add}$

0

mm

Diamètre (équivalent) des barres choisi

$\phi (\phi_n)$

12

mm

Enrobage mini % exigences d'adhérence

$c_{min,b}$

12.00

mm

cf. &4.4.1.2 (3)

Enrobage mini % exigences de durabilité

$c_{min,dur}$

35.00

mm

cf. Tableau 4.4N

Enrobage minimal

$c_{min}$

35.00

mm

$c_{min} = \max\{c_{min,b}; \quad c_{min,dur} + \Delta c_{dur,\gamma} - \Delta c_{dur,st} - \Delta c_{dur,add}; \quad 10 \text{ mm}\}$

Enrobage nominal

$c_{nom}$

45.00

mm

OK !

$c_{nom} = c_{min} + \Delta c_{dev}$

Calcul des actions / combinaisons d'actions & sollicitations

Coefficients pour combinaisons des actions

Coefficient partiel pour actions permanentes défavorables

$\gamma_{G,sup}$

1.35

cf. Tableau A1.2(B) ou Tableau A1.2(B)(NF) de l'EC 1

Coefficient partiel pour actions variable

$\gamma_Q$

1.5

cf. Tableau A1.2(B) ou Tableau A1.2(B)(NF) de l'EC 1

$\psi_0$

0.7

cf. Tableau A1.1 de l'EC 0

$\psi_1$

0.5

cf. Tableau A1.1 de l'EC 0

$\psi_2$

0.3

cf. Tableau A1.1 de l'EC 0

Charges appliquées en pied du poteau

Effort normal centré

Effort normal permanent	N	$N_G$	800	kN
Effort normal variable		$N_Q$	200	kN
Effort normal ultime		$N_u = P_u$	1380	kN
Effort normal de service carac.		$N_{ser}$	1000	kN
Effort normal quasi-permanent		$N_{qp}$	860	kN

On suppose que cette charge comprend, le cas échéant, une fraction du poids des longrines + dallage + autres charges permanentes (murs, etc.)

On suppose que cette charge comprend, le cas échéant, une fraction de la charge variable appliquée au dallage

Page 3 / 9

Moment fléchissant // b'				
Moment permanent	M	M <sub>G</sub>	20	kNm
Moment variable		M <sub>Q</sub>	10	kNm
Moment ultime		M <sub>u</sub>	42	kNm
Moment de service caractéristique		M <sub>ser</sub>	30	kNm
Moment quasi-permanent		M <sub>qp</sub>	23	kNm

Cas 1

Semelle isolée rectangulaire reposant directement sur le sol soumise à une charge excentrée

Géométrie des éléments supportés

Calcul des excentricités à l'ELU

Excentricité du chargement à l'ELU	e <sub>0u</sub>	3.04	cm
Excentricité additionnelle	e <sub>i</sub>	5	cm
Supplément d'excentricité	Δe <sub>0</sub>	0	cm
Excentricité de premier ordre	e <sub>1</sub>	8.04	cm
Excentricité sous les effets du second ordre	e <sub>2</sub>	0	cm
Excentricité totale à l'ELU	e <sub>u</sub> (cm)	8.04	cm

→ Dans ce problème, cette excentricité est évaluée exclusivement // b'

$$e_{0u} = \frac{M_u}{N_u}$$
$$e_1 = e_{0u} + e_i + \Delta e_0$$
$$e_u = e_1 + e_2$$

Détermination du coffrage

En se basant sur le diagramme de Mayerhof

1

Choix quelconque des dimensions en plan de la semelle

P o r t a n c e	Coffrage poteau			Coffrage semelle		Choix du coffrage semelle	
	a	0.30	m	a' (m)	1.70	Choix a'	1.70 m
	b	0.30	m	b' (m)	1.86	Choix b'	1.90 m
	Vérifications (a', b' inconnues)						
	G <sub>0</sub>	40.38	kN				
	$\frac{N_u + 1.35G_0}{a'(b' - 2e)}$	0.485	≤	σ <sub>Rd</sub> (MPa)	0.5		
	Condition de portance :			Vérifiée			

$$\sqrt{\frac{1.05N_u}{\sigma_{Rd}}} \leq a' \rightarrow b' = a' + 2e$$
$$G_0 = G_{semelle} + G_{pré-poteau} + G_{sol}$$
$$G_0 = \gamma_{BA}[a'b'h + abD_r] + \gamma_{sol}(a'b' - ab)D_r$$
$$\sigma_{Ed} = \frac{N_u + 1.35G_0}{a'(b' - 2e)} \leq \sigma_{Rd} = \sigma_{gd} = q_{u,sol} = \frac{q_u}{2}$$

Choix d'une semelle homothétique au poteau

P o r t a n c e	Coffrage poteau			Coffrage semelle		Choix du coffrage semelle	
	a	0.30	m	a' (m)	1.70	Choix a'	1.70 m
	b	0.30	m	b' (m)	1.86	Choix b'	1.90 m
	k = b/a	1.00					
	Détermination du coffrage (a', b' inconnues)						
	b' (m)	1.78	Choix b' (m)	1.80			
	a' (m)	1.78	a' = b'/k (m)	1.80			
	a' (m)	1.78	Choix a' (m)	1.80			
	G <sub>0</sub>	40.50	kN				
	$\frac{N_u + 1.35G_0}{a'(b' - 2e)}$	0.486	≤	σ <sub>Rd</sub> (MPa)	0.5		
	Condition de portance :			Vérifiée			

$$k = \frac{b}{a} = \frac{b'}{a'}$$

Remarque : À ce stade, on ignore les dimensions de la semelle → On peut supposer comme prédimensionnement que 1,35G<sub>0</sub> ≅ 5%N<sub>u</sub> → Dans cet exemple 1,35G<sub>0</sub> = 69 kN

$$b' = e + \sqrt{e^2 + k \left( \frac{1.05N_u}{\sigma_{Rd}} \right)} \rightarrow a' = \frac{b'}{k}$$
$$\sigma_{Ed} = \frac{N_u + 1.35G_0}{a'(b' - 2e)} \leq \sigma_{Rd} = \sigma_{gd} = q_{u,sol} = \frac{q_u}{2}$$

2

R  
i  
g  
i  
d  
i  
t  
é

Détermination de h							
d <sub>01</sub> = d <sub>0y</sub>	0.80	m	d' _ estimée	d' <sub>b'</sub>	5	cm	
d <sub>02</sub> = d <sub>0x</sub>	0.70	m		d' <sub>a'</sub>	5	cm	
d <sub>01</sub> /2+d' <sub>b'</sub>	0.45	≤	h (m)	≤	2d <sub>01</sub> +d' <sub>b'</sub>	1.65	
d <sub>02</sub> /2+d' <sub>a'</sub>	0.40	≤	h (m)	≤	2d <sub>02</sub> +d' <sub>a'</sub>	1.45	
Choix h (m)	0.50		d <sub>1</sub> = d <sub>y</sub> (m)	0.45			
			d <sub>2</sub> = d <sub>x</sub> (m)	0.45			

Choix final du coffrage des éléments

Semelle homothétique au poteau	NON		
Petite dimension en plan du poteau	a	0.30	m
Grande dimension en plan du poteau	b	0.30	m
Petite dimension en plan de la semelle	a'	1.70	m
Grande dimension en plan de la semelle	b'	1.90	m
Hauteur de la semelle	h	0.50	m
Hauteur utile des barres // b'	d <sub>1</sub> = d <sub>y</sub>	0.45	m
Hauteur utile des barres // a'	d <sub>2</sub> = d <sub>x</sub>	0.45	m
Débord // b'	d <sub>01</sub> = d <sub>0y</sub>	0.80	m
Débord // a'	d <sub>02</sub> = d <sub>0x</sub>	0.70	m



N.B. Dans les calculs qui suivent, le poids propre de la semelle, éventuellement celui du pré-poteau et des terres qui la surmontent n'ont pas été pris en compte! Certains concepteurs les incluent dans les calculs.

$$\begin{aligned} \mu_{cu} &= \frac{M_{u1}}{a'd^2\eta f_{cd}} \\ \alpha_{u1} &= \frac{1}{\lambda} (1 - \sqrt{1 - 2\mu_{cu}}) \\ Z_{c1} &= d(1 - 0,5\lambda\alpha_u) \\ A_1 &= \frac{M_{u1}}{Z_{c1}\sigma_{s1}} \leftarrow \sigma_{s1} = \begin{cases} \alpha\varepsilon_{s1} + \beta & \text{palier incliné} \\ f_{yd} & \text{palier horizontal} \end{cases} \end{aligned}$$

$\varepsilon_{cu} (\text{‰}) \begin{cases} 3,5 & \text{pour } f_{ck} \leq 50 \text{ MPa} \\ 2,6 + 35 \left[ \frac{90 - f_{ck}}{100} \right]^4 & \text{pour } f_{ck} \geq 50 \text{ MPa} \end{cases}$   
 $\downarrow$   
 $\varepsilon_{s1} = \frac{1 - \alpha_{u1}}{\alpha_{u1}} \varepsilon_{cu}$

*et autres méthodes. En l'occurrence, on choisit la méthode des bielles (DTU 13.12)*

$$A_{2,u} = A_x = \frac{F_{02,u}}{f_{yd}} = \frac{N_u(a' - a)}{8d_2f_{yd}}$$

$$A_1, A_2 = \begin{cases} 1,1A_u & \text{si } XA1 \\ 1,3A_u & \text{si } XA2 \\ 1,5A_u & \text{si } XA3 \end{cases}$$

$$\begin{cases} A_1 = A_{1,u} = A_y = \frac{F_{01,u}}{f_{yd}} = \frac{N_u(b' - 0,7b)^2}{7,2d_1b'f_{yd}} \\ A_2 = A_{2,u} = A_x = \frac{F_{02,u}}{f_{yd}} = \frac{N_u(a' - 0,7a)^2}{7,2d_2a'f_{yd}} \end{cases}$$

- ❖ 1<sup>er</sup> cas :  $e \leq \frac{b'}{24} < \frac{b'}{6}$  :  $N'_u = N_u \left( 1 + \frac{3e}{b'} \right)$
- ✓ Les aciers requis se calculent par :
 
$$\begin{cases} A_1 = A_{1,u} = \frac{N'_u(b' - b)}{8d_1f_{yd}} \\ A_2 = A_{2,u} = \frac{N'_u(a' - a)}{8d_2f_{yd}} \end{cases}$$
- ❖ 2<sup>ème</sup> cas :  $\frac{b'}{24} < e \leq \frac{b'}{6}$  :
- ✓ Selon la direction a' :
 
$$N'_u = N_u \left( 1 + \frac{3e}{b'} \right) \rightarrow A_2 = A_{//a'} = A_{2,u} = \frac{N'_u(a' - a)}{8d_2f_{yd}}$$
- ✓ Selon la direction b' :
 
$$M_{S_1} = \left( \frac{b'}{2} - 0,35b \right)^2 \left( 1 + 4 \frac{e}{b'} + 1,4 \frac{eb}{b'^2} \right) \frac{N_u}{2b'} \rightarrow A_1 = \frac{M_{S_1}}{Z_u \sigma_s}$$
- ❖ 3<sup>ème</sup> cas :  $\frac{b'}{6} < e \leq \frac{b'}{2}$  :
- ✓ Selon la direction a' :
 
$$N'_u = N_u \left( 1 + \frac{3e}{b'} \right) \rightarrow A_2 = A_{//a'} = A_{2,u} = \frac{N'_u(a' - a)}{8d_2f_{yd}}$$
- ✓ Selon la direction b' :
 
$$M_{S_1} = \left( \frac{b'}{2} - 0,35b \right)^2 (4b' + 0,35b - 9e) \frac{N_u}{27} \rightarrow A_1 = \frac{M_{S_1}}{Z_u \sigma_s}$$

Méthode choisie pour la suite: Moments EC 2 (&amp;9.8.2.2)

Etude du poinçonnement

Pourcentage moyen d'armatures			
Hauteur utile moyenne	d	0.45	cm
Pourcentage d'acier selon y	ρ <sub>y</sub>	0.0020	
Pourcentage d'acier selon x	ρ <sub>x</sub>	0.0016	
Pourcentage moyen d'armatures	ρ	0.0018	≤ 0.02

$$d = \frac{d_y + d_x}{2}$$
$$\left\{ \begin{array}{l} \rho_{ly} = \frac{A_y}{a'd_y} \\ \rho_{lx} = \frac{A_x}{b'd_x} \end{array} \right. \rightarrow \rho = \sqrt{\rho_{ly} \cdot \rho_{lx}} \leq 0,02$$

Caractéristiques géométriques du contour de contrôle

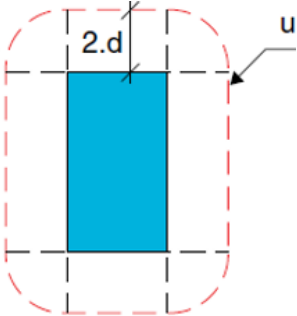
→ En réalité, on ne peut pas savoir par simple calcul et avec précision la position exacte du contour de référence : On va présenter dans la suite la démarche à suivre pour un calcul type, puis dresser un tableau contenant un test sur quelques valeurs probables de ce contour.

Distance entre le nu du poteau et le périmètre du contour de contrôle	0 ≤	a = a <sub>v</sub> (m)	0.45	≤	2d (m)	0.90
→ Par soucis de confusion entre la largeur du poteau et cette distance → on considère comme notation a <sub>v</sub> au lieu de a						

Périmètre du contour de contrôle	u	4.03	m	
Aire du contour de contrôle	A <sub>c</sub>	1.27	m <sup>2</sup>	
Hauteur du contour de contrôle	h	0.50	m	"=F360"

$$u = 2a + 2b + 2\pi a_v$$

$$A_c = (a + 2a_v)b + (b + 2a_v)a - ab + \pi a_v^2$$



$$C_{Rd,c} = \frac{0,18}{\gamma_c}$$

$$k = \min \left\{ \begin{array}{l} 1 + \sqrt{\frac{200}{d}} \\ 2 \end{array} \right. ; \text{ d en mm}$$

$$v_{min} = 0,035\sqrt{k^3 f_{ck}}$$

Calcul de la contrainte de cisaillement résistant v <sub>Rd</sub>			
	C <sub>Rd,c</sub>	0.12	
	k	= min {	1.67 2.00 = 1.67
	v <sub>min</sub>	0.377	MPa
Contrainte due au cisaillement résistant de calcul #1	v <sub>Rd,1</sub>	0.66	MPa
Contrainte due au cisaillement résistant de calcul #2	v <sub>Rd,2</sub>	0.75	MPa
Contrainte due au cisaillement résistant de calcul	v <sub>Rd</sub>	0.75	MPa

$$v_{Rd} = \text{Max} \left\{ \begin{array}{l} v_{Rd,1} = C_{Rd,c} k^3 \sqrt{100 \rho f_{ck}} \times \frac{2d}{a_v} \\ v_{Rd,2} = v_{min} \times \frac{2d}{a_v} \end{array} \right.$$

Calcul de la contrainte de cisaillement de calcul v <sub>Ed</sub>			
Effort tranchant de calcul	V <sub>Ed</sub>	1380.00	kN "=N <sub>u</sub> "
Réaction du sol dans la zone de contrôle	σ <sub>gd</sub>	0.43	MPa
Valeur nette de la force de réaction verticale à l'intérieur du contour de contrôle	ΔV <sub>Ed</sub>	540.97	kN
Effort tranchant à prendre à l'extérieur de la zone de contrôle	V <sub>Ed,red</sub>	839.03	kN
Coef. qui dépend du rapport des dimensions du poteau	k	0.60	
Correspond à une répartition des contraintes de cisaillement	W	1.64	m 4.76
	β	1.07	
Contrainte de cisaillement de calcul	v <sub>Ed</sub>	0.50	MPa ≤ v <sub>Rd</sub>

$$\sigma_{gd} = \frac{V_{Ed}}{a'b'}$$

$$\Delta V_{Ed} = \sigma_{gd} A_c$$

$$V_{Ed,red} = V_{Ed} - \Delta V_{Ed}$$

Tableau 6.1 : Valeur de k pour les aires chargées rectangulaires

c <sub>1</sub> /c <sub>2</sub>	≤ 0,5	1,0	2,0	≥ 3,0
k	0,45	0,60	0,70	0,80

$$W = \frac{c_1^2}{2} + c_1 c_2 + 2c_2 a_v + 4a_v^2 + \pi c_1 a_v$$

$$\beta = 1 + k \frac{M_{Ed} u}{V_{Ed,red} W}$$

$$v_{Ed} = \beta \frac{V_{Ed,red}}{ud} \leq v_{Rd}$$

Recherche de la section critique du contour de contrôle

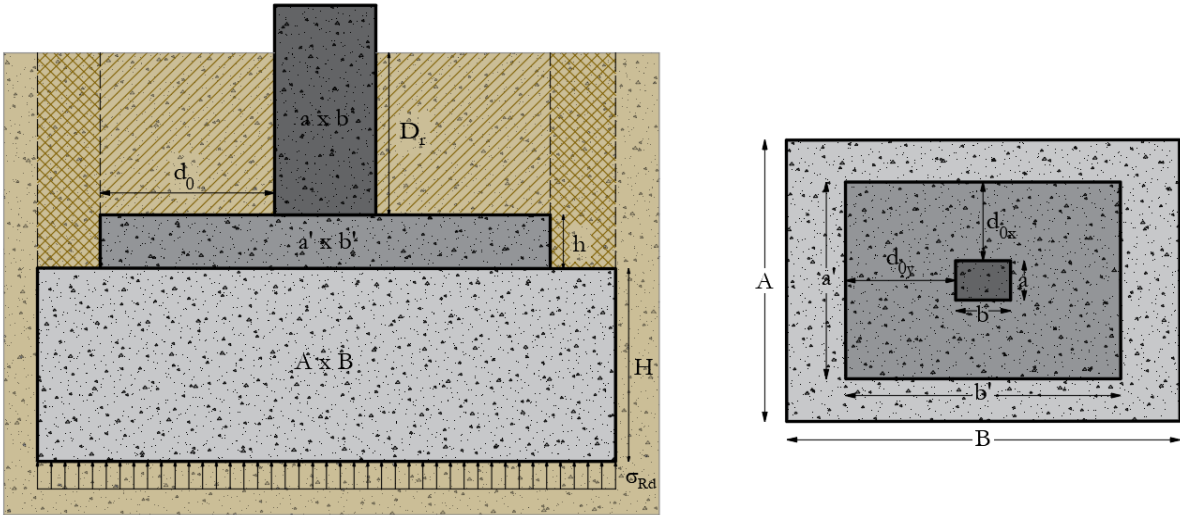
Le contour de contrôle à surveiller selon lequel le risque de poinçonnement est le plus élevé!

a <sub>v</sub>	u	A <sub>c</sub>	ΔV <sub>Ed</sub>	V <sub>Ed,red</sub>	W	β	v <sub>Ed</sub>	v <sub>Rd,1</sub>	v <sub>Rd,2</sub>	v <sub>Rd</sub>	v <sub>Ed</sub> / v <sub>Rd</sub>
ξd	m	m <sup>2</sup>	kN	kN	m	-	MPa	MPa	MPa	MPa	-
0	0.000	1.20	0.090	38.45	1341.55	0.14	1.17	2.899	-	-	-
0.2d	0.090	1.77	0.223	95.47	1284.53	0.31	1.11	1.800	3.29	3.77	0.478
0.4d	0.180	2.33	0.408	174.23	1205.77	0.54	1.09	1.253	1.65	1.88	0.665
0.6d	0.270	2.90	0.643	274.73	1105.27	0.84	1.08	0.914	1.10	1.26	0.729
0.8d	0.360	3.46	0.929	396.97	983.03	1.21	1.07	0.677	0.82	0.94	0.720
d	0.450	4.03	1.266	540.97	839.03	1.64	1.07	0.497	0.66	0.75	0.660
1.2d	0.540	4.59	1.654	706.70	673.30	2.13	1.08	0.352	0.55	0.63	0.561
1.4d	0.630	5.16	2.093	894.18	485.82	2.69	1.10	0.230	0.47	0.54	0.428
1.6d	0.720	5.72	2.583	1103.40	276.60	3.32	1.16	0.124	0.41	0.47	0.264
1.8d	0.810	6.29	3.123	1334.37	45.63	4.01	1.87	0.030	0.37	0.42	0.072
2d	0.900	6.85	3.715	1587.08	-207.08	4.76	0.82	-0.055	0.33	0.38	-0.147

Cas 2

Semelle isolée rectangulaire reposant sur un massif de gros béton soumise à une charge excentrée

Géométrie des éléments supportés



1

Semelle isolée / GB

Portance

Coffrage poteau				
a	0.30	m		
b	0.30	m		

Coffrage semelle				
a' (m)	1.39	Choix a'	1.45	m
b' (m)	1.55	Choix b'	1.55	m

Choix du coffrage semelle				
$\sqrt{\frac{1,05N_u}{\sigma_{GB}}} \leq a' \rightarrow b' = a' + 2e$				

Vérifications (a', b' inconnues)				
G <sub>0</sub>	22.48	kN		
$\frac{N_u + 1,35G_0}{a'(b' - 2e)}$	0.700	≤	σ <sub>GB</sub> (MPa)	0.75
Condition de portance :			Vérifiée	

$G_0 = G_{semelle} + G_{pré-poteau} + G_{sol,1}$   
 $G_0 = \gamma_{BA}[a'b'h + abD_r] + \gamma_{sol}(a'b' - ab)D_r$   
 $\frac{N_u + 1,35G_0}{a'(b' - 2e)} \leq \sigma_{GB}$

2

GB / Sol

Portance

Détermination du coffrage (A, B inconnues)				
A (m)	1.72	Choix A (m)	1.85	
B (m)	1.88	B=A+2e (m)	2.01	
		Choix B (m)	2.00	
G <sub>1</sub>	75.96	kN		
$\frac{N_u + 1,35G_1}{A(B - 2e)}$	0.436	≤	σ <sub>sol</sub> (MPa)	0.5
Condition de portance :			Vérifiée	

$\sqrt{\frac{1,05(N_u + 1,35G_0)}{\sigma_{gd}}} \leq A \rightarrow B = A + 2e$   
 $G_1 = G_0 + G_{GB} + G_{sol,2}$   
 $G_1 = G_0 + \gamma_{GB}[ABH] + \gamma_{sol}(AB - a'b')(D_r + h)$   
 $\frac{N_u + 1,35G_1}{A(B - 2e)} \leq \sigma_{sol} = \sigma_q = \frac{q_u}{2}$   
 $H = A - a'$

1'

Semelle isolée / GB

Portance

Coffrage poteau				
a	0.30	m		
b	0.30	m		
k=a/b	1.00			

Détermination du coffrage (a', b' inconnues)				
b' (m)	1.47	Choix b' (m)	1.50	
a' (m)	1.47	a'=b'/k (m)	1.50	
		Choix a' (m)	1.50	
G <sub>0</sub>	22.50	kN		
$\frac{N_u + 1,35G_0}{a'(b' - 2e)}$	0.702	≤	σ <sub>GB</sub> (MPa)	0.75
Condition de portance :			Vérifiée	

$k = \frac{b}{a} = \frac{b'}{a'}$   
 $b' = e + \sqrt{e^2 + k \left( \frac{1,05N_u}{\sigma_{GB}} \right)} \rightarrow a' = \frac{b'}{k}$   
 $\sigma_{Ed} = \frac{N_u + 1,35G_0}{a'(b' - 2e)} \leq \sigma_{GB}$

2'

GB / Sol

Portance

Détermination du coffrage (A, B inconnues)				
B (m)	1.80	Choix B (m)	1.85	
A (m)	1.80	A=B/k (m)	1.85	
		Choix A (m)	1.85	
G <sub>1</sub>	70.95	kN		
$\frac{N_u + 1,35G_1}{A(B - 2e)}$	0.472	≤	σ <sub>sol</sub> (MPa)	0.5
Condition de portance :			Vérifiée	

$B = e + \sqrt{e^2 + k \left( \frac{1,05(N_u + 1,35G_1)}{\sigma_{gd}} \right)} \rightarrow A = \frac{B}{k}$   
 $G_1 = G_0 + G_{GB} + G_{sol,2}$   
 $G_1 = G_0 + \gamma_{GB}[ABH] + \gamma_{sol}(AB - a'b')(D_r + h)$   
 $\frac{N_u + 1,35G_1}{A(B - 2e)} \leq \sigma_{sol} = \sigma_q = \frac{q_u}{2}$   
 $H = A - a'$

3

Rigidité

Détermination de h et H						
d <sub>01</sub> = d <sub>0y</sub>	0.63	m	d' _ estimée	d' b'	5	cm
d <sub>02</sub> = d <sub>0x</sub>	0.58	m		d' a'	5	cm
d <sub>01</sub> /2+d' b'	0.3625	≤	h (m)	≤	2d <sub>01</sub> +d' b'	1.3
d <sub>02</sub> /2+d' a'	0.3375	≤	h (m)	≤	2d <sub>02</sub> +d' a'	1.2
Choix h (m)	0.40		d <sub>1</sub> = d <sub>y</sub> (m)	0.350		
			d <sub>2</sub> = d <sub>x</sub> (m)	0.350		
H <sub>min</sub> (m)	0.35	→	Choix H (m)	0.55		

Choix final du coffrage des éléments				
Semelle homothétique au poteau:		NON		

Petite dimension en plan du poteau	a	0.30	m
Grande dimension en plan du poteau	b	0.30	m

$$\begin{cases} \frac{d_{01}}{2} = \frac{b' - b}{4} \leq d_1 = h - d'_{b'} \leq 2d_{01} = b' - b \\ \frac{d_{02}}{2} = \frac{a' - a}{4} \leq d_2 = h - d'_{a'} \leq 2d_{02} = a' - a \end{cases}$$



The diagram shows a rectangular structure composed of three layers: a light gray outer layer, a light green middle layer, and a dark teal inner square. The overall height is 1.85, with the middle layer contributing 1.45. The width of the middle layer is 0.58. Two angles, A and B, are indicated by blue arcs at the bottom and top corners, respectively.

N.B. Dans les calculs qui suivent, le poids propre de la semelle, éventuellement celui du pré-poteau et des terres qui la surmontent n'ont pas été pris en compte! Certains concepteurs les incluent dans les calculs.

➤ 1<sup>er</sup> cas :  $2e < \frac{b'}{2} + 0,35b$

$$= V_u = N_u \frac{\frac{b'}{2} - 0,35b}{b' - 2e}$$

$$M_{u_1} = N_{Ed} \frac{\frac{b'}{2} - 0,35b}{2}$$

➤ 2<sup>ème</sup> cas :  $2e > \frac{b'}{2} + 0,35b$

$$V_u = N_u$$

$$M_{u_1} = N_{Ed}(e - 0,35b)$$

$$\begin{aligned} \mu_{cu} &= \frac{M_{u1}}{a' d^2 \eta f_{cd}} \\ \alpha_{u1} &= \frac{1}{\lambda} (1 - \sqrt{1 - 2\mu_{cu}}) \\ Z_{c1} &= d(1 - 0,5\lambda\alpha_u) \\ A_1 &= \frac{M_{u1}}{Z_{c1}\sigma_{s1}} \leftarrow \sigma_{s1} = \begin{cases} \alpha\varepsilon_{s1} + \beta & \text{palier incliné} \\ f_{yd} & \text{palier horizontal} \end{cases} \quad \begin{cases} 3,5 & \text{pour } f_{ck} \leq 50 \text{ MPa} \\ 2,6 + 35 \left[ \frac{90 - f_{ck}}{100} \right]^4 & \text{pour } f_{ck} \geq 50 \text{ MPa} \end{cases} \\ & \quad \downarrow \varepsilon_{s1} = \frac{1 - \alpha_{u1}}{\alpha_{u1}} \varepsilon_{cu} \\ \text{es autres méthodes. En l'occurrence, on choisit la méthode des bielles (DTU 13.12)} \\ A_{2,u} &= A_x = \frac{F_{02,u}}{f_{yd}} = \frac{N_u(a' - a)}{8d_2 f_{yd}} \\ A_1, A_2 &= \begin{cases} 1,1A_u & \text{si } XA1 \\ 1,3A_u & \text{si } XA2 \\ 1,5A_u & \text{si } XA3 \end{cases} \end{aligned}$$

→ 10 HA 14 //b' @ 14 cm + 9.5 sur chaque bord

$$\begin{cases} A_1 = A_{1,u} = A_y = \frac{F_{01,u}}{f_{yd}} = \frac{N_u(b' - 0,7b)^2}{7,2d_1b'f_{yd}} \\ A_2 = A_{2,u} = A_x = \frac{F_{02,u}}{f_{yd}} = \frac{N_u(a' - 0,7a)^2}{7,2d_2a'f_{yd}} \end{cases}$$

**Remarque :** On pourrait suivre la même démarche (celle de la 1<sup>ère</sup> méthode // b') pour calculer les sections d'acier requises dans les deux directions, en considérant les moments suivants :

$$M_{E dy} = \frac{N_u(b' - 0,7b)^2}{8b'} \quad ; \quad M_{E dx} = \frac{N_u(a' - 0,7a)^2}{8a'}$$

→ 10 HA 14 //b' @ 14 cm + 9.5 sur chaque bord

- ❖ 1<sup>er</sup> cas :  $e \leq \frac{b'}{24} < \frac{b'}{6}$  :  $N'_u = N_u \left( 1 + \frac{3e}{b'} \right)$
- ✓ Les aciers requis se calculent par :
 
$$\begin{cases} A_1 = A_{1,u} = \frac{N'_u(b' - b)}{8d_1f_{yd}} \\ A_2 = A_{2,u} = \frac{N'_u(a' - a)}{8d_2f_{yd}} \end{cases}$$
- ❖ 2<sup>ème</sup> cas :  $\frac{b'}{24} < e \leq \frac{b'}{6}$  :
- ✓ Selon la direction a' :
 
$$N'_u = N_u \left( 1 + \frac{3e}{b'} \right) \rightarrow A_2 = A_{//a'} = A_{2,u} = \frac{N'_u(a' - a)}{8d_2f_{yd}}$$
- ✓ Selon la direction b' :
 
$$M_{S_1} = \left( \frac{b'}{2} - 0,35b \right)^2 \left( 1 + 4 \frac{e}{b'} + 1,4 \frac{eb}{b'^2} \right) \frac{N_u}{2b'} \rightarrow A_1 = \frac{M_{S_1}}{Z_u \sigma_s}$$



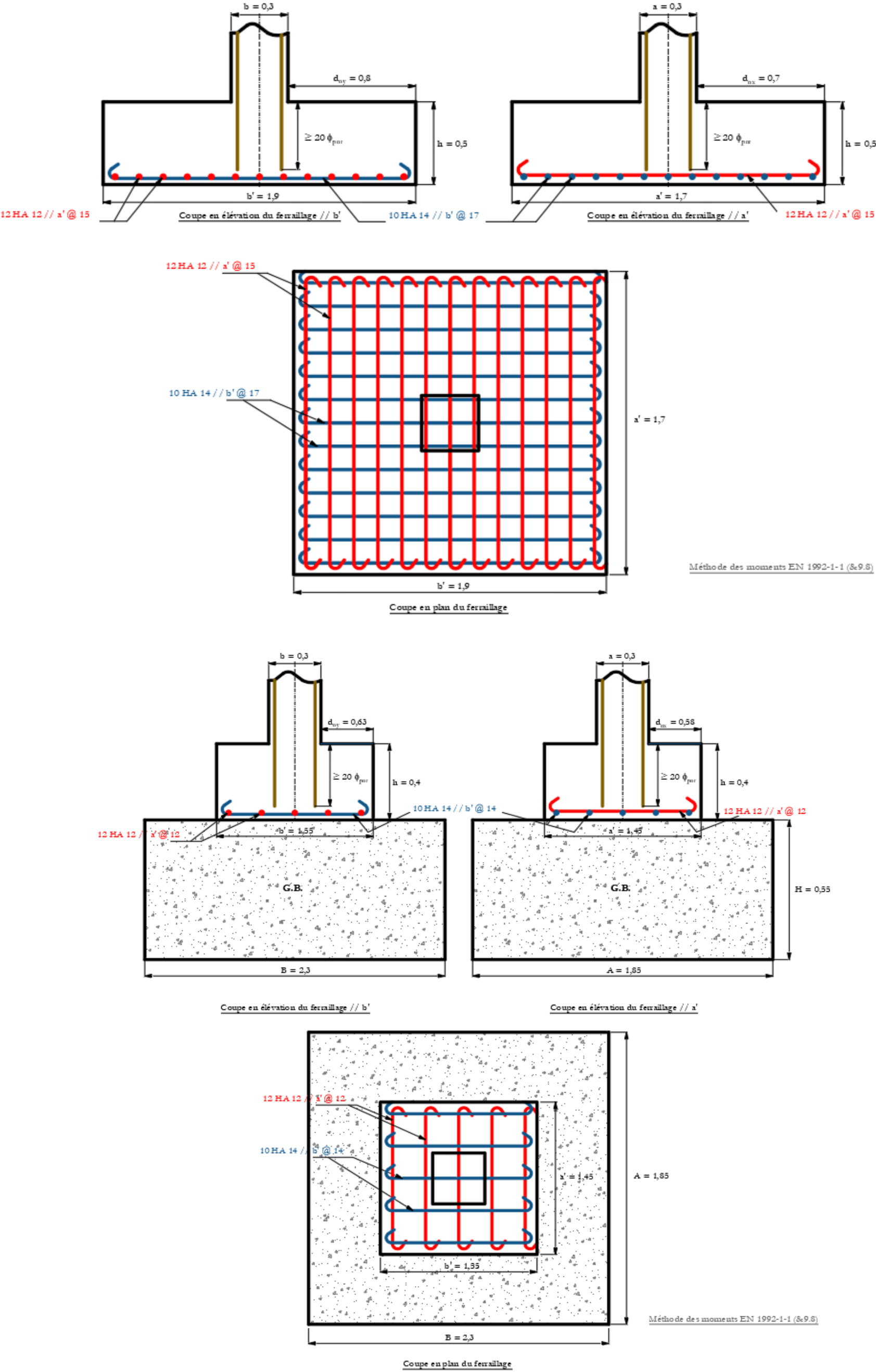
Section d'acier requise // b'		A <sub>1,u</sub>	12.32	cm <sup>2</sup>
		A <sub>1</sub>	12.32	cm <sup>2</sup>
	Armatures // a'			
Force dans les barres // a'		N' <sub>u</sub>	1.595	MN
Section d'acier requise // a'		A <sub>2,u</sub>	15.07	cm <sup>2</sup>
		A <sub>2</sub>	15.07	cm <sup>2</sup>
Acier pourvu	n1	11		
	φ <sub>s1</sub>	12		
	A <sub>1</sub> = A <sub>y</sub>	12.44	cm <sup>2</sup>	
Acier pourvu	n2	10		
	φ <sub>s2</sub>	14		
	A <sub>2</sub> = A <sub>x</sub>	15.39	cm <sup>2</sup>	
Espacement des barres	s <sub>1,b'</sub>	13.18	cm	
	s <sub>2,a'</sub>	15.50	cm	

→ 11 HA 12 // b' @ 13 cm + 7.5 sur chaque bord

→ 10 HA 14 // a' @ 15 cm + 10 sur chaque bord

Méthode choisie pour la suite : Moments EC 2 (&9.2.2)

Schéma de ferrailage



Pour mémoire :  
→ Vérification de l'ancrage des barres.  
→ Vérification de l'ouverture des fissures au besoin.